

O CIRCUITO ELÉCTRICO MÍNIMO ANÁLOGO DA MOLA PESADA

J. MIGUEL NUNES DA SILVA

Laboratório de Física da Universidade do Porto
Pr. Gomes Teixeira, 4000 Porto

A bem conhecida e fecunda analogia electromecânica é aplicada ao caso da mola de massa não desprezável.

É mostrado que, pelo menos em teoria, esta pode ser representada por uma única malha LC sendo facilmente calculadas as frequências de ressonância do sistema mecânico original.

Este tratamento revela-se uma forma natural de fazer uma primeira abordagem à técnica de renormalização.

1. Introdução

São bem conhecidas as vantagens de representarmos um sistema mecânico pelo seu análogo eléctrico. De entre elas contam-se: fácil montagem de forma a evidenciar um aspecto particular da física do sistema; fácil identificação de efeitos de ressonância; e fácil acesso a uma diversidade de medidas. Um exemplo simples disto é o circuito LC usado como análogo de uma idealização do sistema massa/mola (fig. 1). Esta analogia é formal e expressa com base na equação diferencial

$$R \frac{d^2}{dt^2} X + TX = U \cos \omega t \quad (1)$$

através da correspondência $(R, T, U, X) \Leftrightarrow (M, K, F_0, x) \Leftrightarrow (L, 1/C, \omega V_0, i)$, onde

M \equiv massa suspensa na mola
 K \equiv rigidez da mola
 F_0 \equiv amplitude da força excitadora
 x \equiv elongação da mola em relação ao equilíbrio
 L \equiv indutância da bobina
 C \equiv capacidade do condensador
 V_0 \equiv amplitude da tensão excitadora

i \equiv corrente eléctrica na malha
 ω \equiv 2π vezes a frequência da força ou tensão excitadoras, supostas sinusoidais.

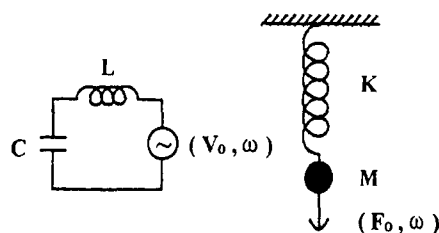


Fig. 1 — Circuito LC e sistema massa-mola análoga com as correspondentes tensão excitadora $V(t) = V_0 \cos \omega t$ e força excitadora $F(t) = F_0 \cos \omega t$.

O problema das oscilações de uma massa M suspensa numa mola pesada ou massiva (em que a sua própria massa « m » não é desprezada) é um velho problema [1], fonte de muitos pontos de vista: veja-se J. T. Cushing [2], e as primeiras doze referências aí citadas; e, ainda, J. T. Cushing [3] e J. M. Nunes da Silva [4]. Como é bem conhecido [1] este sistema tem um número infinito, mas discreto, de frequências de ressonância (ou modos próprios de oscilação) expressos pelas soluções da equação

$$\frac{m}{M} = \left(\omega \sqrt{\frac{m}{M}} \right) \operatorname{tg} \left(\omega \sqrt{\frac{m}{M}} \right). \quad (2)$$

Uma abordagem
elementar à técnica
de renormalização

Introdução

Redução do circuito

Redução sucessiva

Redução máxima

Conclusão

No limite $m \ll M$, a mola comporta-se como se a sua massa m contribui-se para uma massa efectiva de $M + m/3$.

O circuito eléctrico análogo à mola massiva poderia ser um sistema contínuo — um cabo coaxial — como indica a Fig. 8 de [2], exigindo a operação frequências na região dos megahertz. Contudo [4], por exemplo, sugere uma representação discreta de uma série de $N \gg 1$ pequenas molas, de rigidez $S = K N$, acoplando outras tantas pequenas massas de valor $r = m/N$. Essa representação, que é ilustrada na Fig. 2a, tem, do ponto de vista macros-

Com efeito, se a corrente i_n atravessar a indutância à esquerda do nodo n , temos:

- para a indutância da esquerda:

$$i_0 = 0; \quad (4.a)$$

- para uma indutância intermédia:

$$L_0 \frac{d^2}{dt^2} i_n = \frac{1}{C_0} (i_{n-1} - 2 i_{n+1}); \quad (4.b)$$

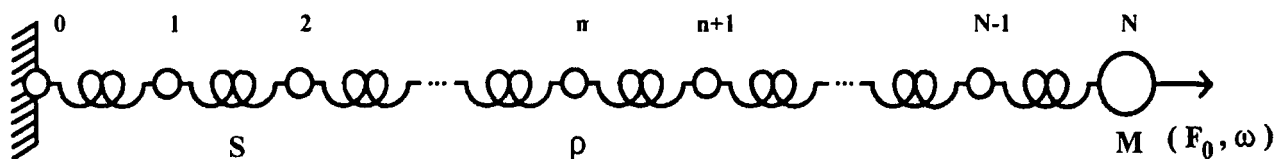


Fig. 2a — Representação discretizada para a mola pesada com uma massa M acoplada no extremo oposto à ponta fixa.

cópico, os ingredientes necessários de elasticidade e de distribuição uniforme de massa [4]. Ela exprime-se em três tipos de equações para os deslocamentos x_n em relação às posições de equilíbrio:

- para a ponta fixa

$$x_n = 0; \quad (3.a)$$

- para as massas intermédias $n = 1, 2, \dots, N - 1$:

$$\rho \ddot{x} = S (x_{n-1} - 2 x_n + x_{n+1}); \quad (3.b)$$

- e para a massa M acoplada à mola massiva:

$$M \ddot{x}_n = S (x_{N-1} - x_N) + F_0 \cos \omega t. \quad (3.c)$$

Do que foi dito em torno da eq. (1), e da aplicação das leis de Kirchoff, facilmente se conclui que o circuito da Fig. 2b é o análogo da referida representação discreta.

- e para a indutância L_F da ponta direita:

$$L_F \frac{d^2}{dt^2} i_N = \frac{1}{C_0} (i_{N-1} - i_N) + \omega V_0 \cos \omega t. \quad (4.c)$$

(a diferença de fase em (4.c) foi esquecida por irrelevante). É pois patente entre (3) e (4) uma analogia caso se faça corresponder M a L_F e se defina

$$L_0 \equiv L/N \quad (5.a)$$

e

$$C_0 \equiv C/N, \quad (5.b)$$

correspondendo estas definições (num sentido fácil de precisar) à indutância e capacidade por unidade de comprimento do cabo coaxial descrito em [2].

Neste artigo procuraremos responder à questão do número mínimo de elementos para o circuito eléctrico análogo. Como veremos estes «contam-se pelos dedos de uma mão», o que constitui uma vantagem (pelo menos no

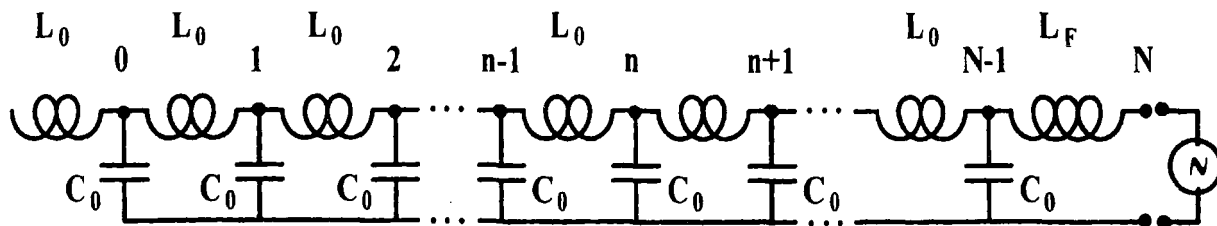


Fig. 2b — Circuito eléctrico equivalente. A tensão aplicada é sinusoidal de amplitude V_0 e frequência ω .

ponto de vista da teoria) a acrescentar às enunciadas no início desta introdução.

Uma primeira redução a um circuito equivalente ao da Fig. 2b, mas com apenas $N/2$ elementos LC, é conseguido na Secção 2 por aplicação da bem conhecida transformação $\Pi \rightarrow T$ para circuitos quadrupolares. Fazendo uso da notação da Fig. 3, das leis de associação de impedâncias, e considerada a simetria, basta estabelecer a igualdade de impedâncias:

i) entre os nodos 1 e 3:

$$(2j\omega \Delta L)^{-1} = \left(\frac{2}{j\omega C_0} \right)^{-1} + \frac{1}{j\omega L_0}$$

(com $j^2 = -1$), i. e.,

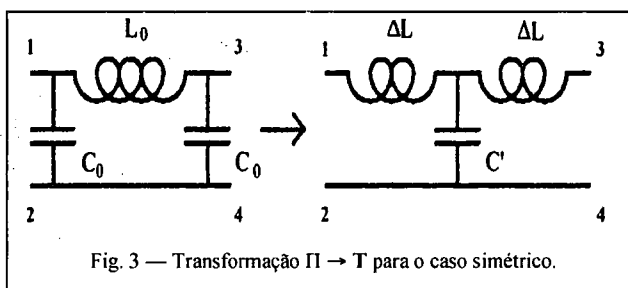


Fig. 3 — Transformação $\Pi \rightarrow T$ para o caso simétrico.

$$\Delta L = \frac{L_0}{2 - \left(\frac{\omega}{\omega_0} \right)^2} \quad (6.a)$$

e

$$\omega_0 \equiv 1/\sqrt{L_0 C_0} = N/\sqrt{L C} \quad (7)$$

ii)

entre os nodos 1 e 2:

$$\left[j\omega \Delta L + \frac{1}{j\omega C'} \right]^{-1} = \left[j\omega L_0 + \frac{1}{j\omega C_0} \right]^{-1} + j\omega C_0,$$

i. e.,

$$C' = C_0 \left[2 - \left(\frac{\omega}{\omega_0} \right)^2 \right] \quad (6.b)$$

Na Secção 3 aplicaremos sucessivamente as relações de passagem (6.a,b) reduzindo repetidamente a metade o número de elementos LC do circuito equivalente: por isso escolhemos $N = 2p$, com p inteiro. Na Secção 4 faremos a sua redução máxima a uma simples malha LC.

2. Redução do circuito

Começemos por realçar dois factos importantes sobre o nosso circuito da Fig. 2b. No lado esquerdo do nodo «0» a indutância aí residente, e mantida apenas para tornar mais clara a analogia, é irrelevante do ponto de vista eléctrico. Ela constitui, digamos assim, uma «ponta morta». Não sendo atravessada por qualquer corrente é indiferente a alteração do seu valor pela aplicação da transformação $\Pi \rightarrow T$ ao quadrupolo inserido entre os nodos «0» e «1». No outro lado, notemos que a fonte de tensão não é afectada pelo processo de redução mantendo as suas características: em particular ω é fixo.

Para reduzir o circuito da Fig. 2b fez-se a aplicação, em malhas alternadas, da transformação $\Pi \rightarrow T$ formalizada em (6.a,b). Cada quadrupolo compreendido entre o nodo « $2n$ » e « $2n + 1$ », com $n = 0, 1, 2, \dots, N/2 - 1$, é transformado num quadrupolo T (veja-se a Fig. 4a).

Resulta, assim, o aparecimento de novos condensadores de capacidades C' dadas directamente por (6.b). De forma idêntica, surge uma nova indutância L' , resultado de duas contribuições adicionais dadas por (6.a):

$$L' = L_0 + 2 \Delta L = L_0 \frac{4 - \left(\frac{\omega}{\omega_0} \right)^2}{2 - \left(\frac{\omega}{\omega_0} \right)^2} \quad (8)$$

O caso da indutância da ponta direita é diferente, havendo só uma contribuição adicional ΔL , pelo que se define

$$L'_F = L_F + 2 \Delta L. \quad (9)$$

Temos, se atentarmos na Fig. 4a, que o nosso circuito eléctrico se simplificou drasticamente. De facto, obtemos,

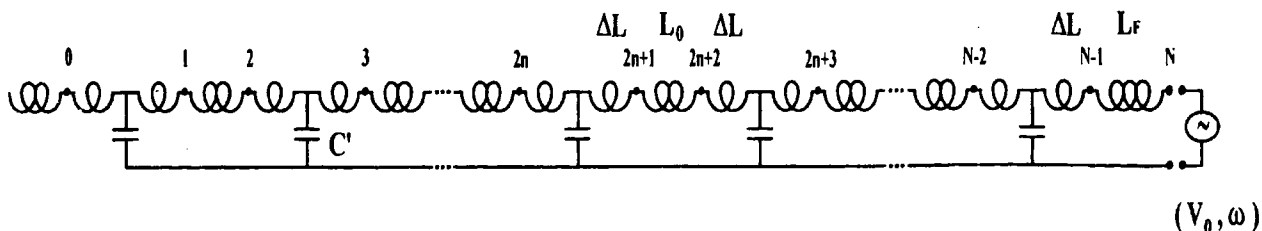


Fig. 4a — Circuito reduzido por aplicação da transformação $\Pi \rightarrow T$ de forma alternada.

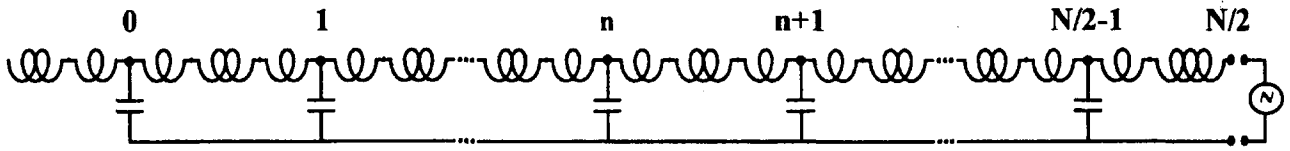


Fig. 4b — Redefinição dos índices identificadores dos nodos para o circuito da Fig. 4a.

por redefinição dos nodos segundo indica a Fig. 4b, uma representação idêntica à inicial, expressa na Fig. 2b, mas com apenas metade dos elementos. Notemos ainda, partindo de (6.b) e (8), que, para este novo circuito, o equivalente da frequência característica ω_0 , definida em (7), vem dado por

$$\omega_0'^2 = \omega_0^2 \left[4 - \left(\frac{\omega}{\omega_0} \right)^2 \right]^{-1} \quad (10)$$

3. Redução sucessiva

Esta última expressão (10) pode adquirir uma forma muito simples (veja-se por exemplo [4]) se fizermos

$$\frac{\omega}{\omega_0} \equiv 2 \operatorname{sen} \chi, \quad (11)$$

o que é remanescente da relação de dispersão para ondas numa cadeia linear infinita de massas e molas. De facto (10) toma a forma

$$\chi' = 2 \chi \quad (12)$$

e as relações (6.b) e (8.b) ficam:

$$C' = 2 C_0 \cos 2 \chi \quad (13.a)$$

$$L' = 2 L_0 \frac{\cos^2 \chi}{\cos 2 \chi}. \quad (13.b)$$

Quanto à indutância terminal L_F basta notar, para o que segue, que de (8.a) e (9) se conclui

$$2 L'_F - L' = 2 L_F - L_0. \quad (14)$$

Vimos, no final da secção anterior, que o circuito obtido por redução era idêntico ao inicial, mas com apenas metade dos elementos. Por isso estamos autorizados a repetir o mesmo procedimento de redução, digamos k vezes. O circuito resultante passa, em consequência de (12) e (13.b), a ser constituído por indutâncias de valor

$$\begin{aligned} L^{(k)} &= L_0 \frac{\cos \chi}{\cos 2^k \chi} \prod_{i=0}^{k-1} 2 \cos 2^i \chi \\ &= L_0 \frac{\operatorname{tg} 2^k \chi}{\operatorname{tg} \chi}, \end{aligned} \quad (15)$$

onde se usa o resultado em apêndice. Os novos condensadores terão um valor resultante da iteração de (13.a):

$$\begin{aligned} C^{(k)} &= C_0 \prod_{i=0}^{k-1} 2 \cos 2^{i+1} \chi \\ &= C_0 \frac{\operatorname{sen} 2^{k+1} \chi}{\operatorname{sen} 2 \chi}. \end{aligned} \quad (16)$$

Quanto à indutância terminal, a invariância do binómio $2 L_F^{(i)} - L^{(i)}$, expressa por (14),

$$\begin{aligned} L_F^{(k)} &= \frac{1}{2} L^{(k)} + L_F - \frac{1}{2} L_0 \\ &= L_F + \frac{1}{2} L_0 \left[\frac{\operatorname{tg} 2^k \chi}{\operatorname{tg} \chi} - 1 \right], \end{aligned} \quad (17)$$

fazendo uso de (15).

As equações (15), (16) e (17) exprimem os valores das indutâncias, condensadores e indutância terminal de um circuito com a forma do da Fig. 4a com $2^p - k$ nodos.

4. Redução máxima

Somos, assim, levados a concluir que existe um limite máximo para o número de reduções. De facto, no caso $k = p$ o circuito reduzido é mínimo, sendo constituído apenas por uma malha LC (tal como a fig. 1) com componentes de valores $C^{(p)}$ e $L_F^{(p)}$ dados por (16) e (17). A correspondente frequência de ressonância vem então dada por

$$\omega = 1 / \sqrt{C^{(p)} L_F^{(p)}}. \quad (18)$$

Esta equação pode ser escrita de forma explícita se notarmos que w_0 é, devido a (7), proporcional a $N \gg 1$. Então resulta de (11)

$$\chi \approx \omega \frac{\sqrt{LC}}{2N}, \quad (19)$$

que, substituído em (16) e (17), torna

$$C^{(p)} = C \frac{\text{sen} \omega \sqrt{LC}}{\omega \sqrt{LC}} \quad (20)$$

e

$$L_F^{(p)} = L_F + L \frac{\text{tg} \frac{\omega}{2} \sqrt{LC}}{\omega \sqrt{LC}}. \quad (21)$$

Assim, a eq. (18) toma a forma já nossa familiar

$$\frac{L}{L_F} = (\omega \sqrt{LC}) \text{tg}(\omega \sqrt{LC}). \quad (22)$$

De facto, fazendo uso da analogia electromecânica enunciada na Introdução ($L_F \rightarrow M$, $L \rightarrow m$, $C \rightarrow 1/K$) recuperamos, a partir de (22), a muito celebrada expressão (2).

5. Conclusão

A mola massiva com massa acoplada é um sistema surpreendente, quer pela diversidade da Física que revela quer pela quantidade de métodos que permite aplicar [2-4].

O processo de redução do análogo eléctrico surge como o primeiro ponto de contacto com um conhecido método. Este estende os conceitos da análise dimensional e a noção de similaridade (patente entre os modelos ou circuitos representados nas Figs. 2b e 4a) [4]. De facto esse método, conhecido por renormalização e que valeu em 1982 o prémio Nobel ao físico americano Kenneth G. Wilson, apenas necessita de um outro ingrediente, o da mudança de escala de comprimentos [4], que, no nosso caso, se traduz na redefinição de índices (coordenadas) operada na Fig. 4b e que pode ser interpretada como uma duplicação do espaçamento entre os elementos do circuito.

A linguagem da analogia electromecânica apresenta-se, pois, como uma forma natural de introduzir técnicas e conceitos que tiveram a sua génese na electrodinâmica quântica (Gell-Mann e Low, 1954). Estes levaram um grande impulso durante a aplicação às transições de fase (Kadanoff, 1967), e estabeleceram-se como método de aplicação sistemática com os trabalhos de Wilson (1971). Em [5] podem ser encontrados alguns desenvolvimentos e aplicações recentes.

Apêndice

Neste pequeno apêndice explicitaremos a transformação trigonométrica mais elaborada empregue neste artigo:

$$\prod_{i=0}^{n-1} 2 \cos 2^i \chi = \frac{\text{sen} 2^n \chi}{\text{sen} \chi}.$$

Para tal basta notar que

$$\begin{aligned} \text{sen} \chi \cdot 2 \cos \chi \cdot 2 \cos 2 \chi \cdots 2 \cos 2^{n-1} \chi &= \\ &= \text{sen} 2 \chi \cdot 2 \cos 2 \chi \cdots 2 \cos 2^{n-1} \chi \\ &= \text{sen} 2^2 \chi \cdot 2 \cos 2^2 \chi \cdots 2 \cos 2^{n-1} \chi \\ &= \text{sen} 2^{n-1} \chi \cdot 2 \cos 2^{n-1} \chi \\ &= \text{sen} 2^n \chi. \end{aligned}$$

Referências

- [1] COULSON, C. A. e Jeffrey, A. I. — *Waves* (Longman, Londres, § 43. (1977).
- [2] CUSHING, J. T. — *The spring-mass system revisited*. Am. J. Phys. **52**, 925-933. (1984).
- [3] CUSHING, J. T. — *The method of characteristics applied to the massive spring problem*. Am. J. Phys. **52**, 933-937. (1984).
- [4] NUNES DA SILVA, J. M. — *Renormalized vibrations of a loaded spring*. Am. J. Phys. (aceite para publicação)
- [5] CLERC, J. P.; GIRAUD G.; LAUGIER, J. M. e LUCK, J. M. — *The electrical conductivity of binary disordered systems, percolation clusters, fractals and related models*. Adv. Phys. **39**, 191-309. (1990).